
**ТЕПЛОМАССОБМЕН И ФИЗИЧЕСКАЯ
ГАЗОДИНАМИКА**

УДК 536.2.001

**ТЕПЛОПРОВОДНОСТЬ ПРИ ПЕРЕМЕННОМ
КОЭФФИЦИЕНТЕ ТЕПЛООБМЕНА**

© 2019 г. Э. М. Карташов*

МИРЭА – Российский технологический университет
(Институт тонких химических технологий им. М.В. Ломоносова), Москва, Россия

*E-mail: kartashov@mitht.ru

Поступила в редакцию 25.12.2018 г.

После доработки 25.12.2018 г.

Принята к публикации 27.03.2019 г.

Рассмотрены практически важные задачи нестационарной теплопроводности с переменным во времени относительным коэффициентом теплообмена. Приведена систематизация различных подходов при нахождении аналитического решения задачи: метод расщепления обобщенного интегрального преобразования Фурье, разложение искомого температурной функции в степенной ряд, сведение задачи к интегральному уравнению Вольтера второго рода. Показано, что во всех случаях решение сводится к бесконечному ряду последовательных приближений различной функциональной формы и главной целью каждого из подходов является нахождение наиболее удачного первого приближения. Рассмотрены частные случаи временной зависимости относительного коэффициента теплообмена: линейная, экспоненциальная, степенная, корневая. Приведены аналитические решения и численные эксперименты, выявлены особенности температурных кривых для ряда указанных зависимостей. Установлено, что для линейного закона во времени коэффициента теплоотдачи картина изменения температурной кривой по сравнению с классическим случаем для постоянного коэффициента существенно изменяется, в то время как экспоненциальная зависимость не вносит существенных изменений.

DOI: 10.1134/S0040364419050077

ВВЕДЕНИЕ

При исследовании температурного режима твердых тел в условиях конвективного теплообмена с окружающей средой наиболее существенные результаты получены для случая постоянного относительного коэффициента теплообмена $h = \alpha/\lambda$ (α – коэффициент теплообмена, λ – теплопроводность) [1]; считается, что α определяется только температурным напором. Однако, как показывают экспериментальные исследования [2], в ряде нестационарных процессов теплообмена коэффициент теплоотдачи является неравновесным и намного сильнее зависит от времени, чем от температуры, т.е. $h = h(t)$.

Соответствующие задачи теплопроводности с граничными условиями вида $(\partial T/\partial n)_r = h(t)[T|_r - T_c]$, $t > 0$ представляют большой практический интерес, и этим случаям в аналитической теории теплопроводности традиционно уделялось повышенное внимание [2, 3]. Зависимость $h(t)$ наблюдается при формировании теплового пограничного слоя в условиях нестационарного обтекания твердых поверхностей охлаждающей жидкостью; нагреве тел пульсирующим потоком жидкости или газа; движении баллисти-

ческого тела в среде с переменной плотностью и температурой; теплообмене прокатываемого металла с валками и окружающей средой; изучении явлений турбулентности при контактном измерении температуры выходных газов; нестационарном охлаждении термоэлектрических устройств; в процессах диффузии в условиях переменной температуры при изучении физической химии металлов; фазовых переходах и др. [2, 3]. Помимо технологических имеется также ряд других причин изменения коэффициента теплообмена во времени: изменение физических характеристик теплоносителя (скорости движения, степени черноты, плотности и т.п.) или изменение с течением времени состояния поверхности нагреваемого тела (окисление, засорение пылью, растрескивание и т.п.).

До настоящего времени не найдено точного решения задачи теплопроводности в замкнутой форме при произвольном законе изменения коэффициента $h(t)$: искомая температурная функция не выражается в квадратурах и точное решение задачи имеет вид бесконечного ряда последовательных приближений. Трудность заключается в том, что невозможно, оставаясь в рамках классических методов математической физики, согласовать решение уравнения теплопроводности

с граничным условием теплопроводности при переменном $h(t)$. Объяснение этому факту достаточно простое. Для произвольной временной зависимости относительного коэффициента теплообмена собственные значения и собственные функции как решения соответствующей спектральной задачи формально зависят от времени, а это значит, что решение исходной задачи не может быть записано в виде интеграла Фурье–Ханкеля для частично ограниченной области или в виде ряда Фурье–Ханкеля для конечной области канонического типа. Последнее означает, что метод разделения переменных Фурье, лежащий в основе практически всех подходов классических дифференциальных уравнений математической физики, к цели не приводит. Характерной особенностью указанного класса задач при поиске их решений является возможность варьирования различными подходами. Это объясняется тем, что решение одной и той же тепловой задачи можно искать в различных классах функций, когда выявляются особенности структуры получаемых решений. Эти функции должны удовлетворять ряду требований: во-первых, они должны достаточно легко рассчитываться; во-вторых, обеспечивать сходимость процесса настолько хорошо, чтобы можно было сделать требуемые в задаче заключения о свойствах полученного решения; в-третьих, обеспечивать существование всех операций, допускаемых в процессе преобразований; в-четвертых, быть удобными в практическом плане при рассмотрении конкретных (частных) законов $h(t)$ после нахождения решения задачи для произвольной зависимости коэффициента теплообмена. В связи с этим на практике используются различные подходы, дающие точные (в виде бесконечного ряда) или приближенные решения такого класса задач для пластины, цилиндра, шара, полуограниченного стержня при произвольном законе $h(t)$ и его частных зависимостях: экспоненциальной, степенной, корневой, линейной, периодической, импульсной, пульсирующей и т.д.

Таковыми являются метод тепловых потенциалов, когда уравнение теплопроводности сводится к интегральному уравнению Вольтера второго рода и далее используется пикаровский процесс разложения по параметру; интегральный метод Кармана–Польгаузена из теории гидродинамического пограничного слоя; метод разложения по малому параметру (методы возмущений); операционный с использованием метода последовательных приближений; метод бичастотной передаточной функции; метод осреднения функциональных поправок; метод сведения уравнения теплопроводности к системе обыкновенных дифференциальных уравнений с использованием функции Грина; вариационный метод; метод расщепления обобщенного интегрального преобра-

зования Фурье, дающего интегральную форму первого приближения при произвольной зависимости $h(t)$; асимптотические методы; метод координатных функций с использованием фронта температурного возмущения и дополнительных граничных условий и др. ([2–4] (и ссылки в них)). Несмотря на многообразие подходов, каждый из них в конечном счете приводит решение задачи к бесконечному ряду последовательных приближений и главной целью каждого из подходов является поиск наиболее удачного первого приближения.

РАЗЛИЧНЫЕ ФОРМЫ ПИКАРОВСКОГО ПРОЦЕССА

Рассмотрим некоторые подходы при нахождении аналитического решения задачи с переменным относительным коэффициентом теплообмена с использованием пикаровского процесса последовательных приближений. В безразмерных переменных

$$x = \frac{z}{l}, \quad F_0 = \frac{at}{l^2}, \quad \text{Bi}(F_0) = \frac{\alpha(t)l}{\lambda},$$

$$T(x, t) = \frac{W(z, t) - T_0}{T_c - T_0},$$

где l – выбранная единица масштаба, имеем задачу

$$\frac{\partial T}{\partial F_0} = \frac{\partial^2 T}{\partial x^2}, \quad x > 0, \quad F_0 > 0, \quad (1)$$

$$T(x, F_0)|_{F_0=0} = 0, \quad x \geq 0, \quad (2)$$

$$\frac{\partial T(x, F_0)}{\partial x} \Big|_{x=0} = \text{Bi}(F_0)[T(x, F_0)|_{x=0} - 1], \quad F_0 > 0, \quad (3)$$

$$|T(x, F_0)| < \infty, \quad x \geq 0, \quad F_0 \geq 0. \quad (4)$$

Здесь $\text{Bi}(F_0)$ – непрерывно дифференцируемая неотрицательная функция. Искомое решение:

$$T(x, t) \in C^2(\Omega) \cap C^0(\bar{\Omega}),$$

$$\text{grad} T(x, t) \in C^0(\bar{\Omega}), \quad \bar{\Omega} = (x \geq 0, t \geq 0).$$

Для решения задачи применим метод расщепления обобщенного интегрального преобразования Фурье. В отличие от [5, 6], где реализованы основы этого метода, в настоящей работе дан ряд обобщений и добавлений при рассмотрении практически важных случаев. Введем интегральное преобразование

$$L[T(x, F_0)] = \tilde{T}(\xi, F_0) = \int_0^\infty T(x, F_0) \left[\cos \xi x + \frac{\text{Bi}(F_0)}{\xi} \sin \xi x \right] dx, \quad (5)$$

функции $T(x, F_0)$ с формулой обращения

$$T(x, F_0) = \frac{2}{\pi} \int_0^{\infty} \tilde{T}(\xi, F_0) \times \left[\cos \xi x + \frac{\text{Bi}(F_0)}{\xi} \sin \xi x \right] \frac{\xi^2 d\xi}{\xi^2 + \text{Bi}^2(F_0)}. \quad (6)$$

Если ввести обозначения

$$\omega(\xi, F_0) = 1 - i \frac{\text{Bi}(F_0)}{\xi}, \quad \bar{\omega}(\xi, F_0) = 1 + i \frac{\text{Bi}(F_0)}{\xi}, \quad (7)$$

при которых

$$\cos \xi x + \frac{\text{Bi}(F_0)}{\xi} \sin \xi x = \frac{1}{2} [\omega \exp(i\xi x) + \bar{\omega} \exp(-i\xi x)], \quad (8)$$

а также

$$\bar{A}(\xi, F_0) = \int_0^{\infty} T(x, F_0) \exp(i\xi x) dx, \quad (9)$$

$$A(\xi, F_0) = \int_0^{\infty} T(x, F_0) \exp(-i\xi x) dx, \quad (10)$$

то изображение

$$\tilde{T}(\xi, F_0) = \frac{1}{2} [\omega(\xi, F_0) A(\xi, F_0) + \bar{\omega}(\xi, F_0) \bar{A}(\xi, F_0)]. \quad (11)$$

Для перевода уравнения (1) в пространство изображений понадобятся еще два соотношения:

$$\frac{\partial \tilde{T}(\xi, F_0)}{\partial F_0} = \frac{1}{2} \left[\omega(\xi, F_0) \frac{\partial A(\xi, F_0)}{\partial F_0} + \bar{\omega}(\xi, F_0) \frac{\partial \bar{A}(\xi, F_0)}{\partial F_0} \right], \quad (12)$$

$$L \left[\frac{\partial^2 T(\xi, F_0)}{\partial x^2} \right] = \text{Bi}(F_0) - \frac{1}{2} \xi^2 [\omega(\xi, F_0) A(\xi, F_0) + \bar{\omega}(\xi, F_0) \bar{A}(\xi, F_0)]. \quad (13)$$

Переведем задачу (1)–(4) в пространство изображений (5):

$$\begin{cases} \omega \frac{\partial A}{\partial F_0} + \bar{\omega} \frac{\partial \bar{A}}{\partial F_0} + \xi^2 (\omega A + \bar{\omega} \bar{A}) = 2\text{Bi}(F_0), & F_0 > 0, \\ A(\xi, F_0)|_{F_0=0} = \bar{A}(\xi, F_0)|_{F_0=0} = 0. \end{cases} \quad (14)$$

Рассмотрим подробнее:

$$\begin{aligned} & \omega \frac{\partial A}{\partial F_0} + \bar{\omega} \frac{\partial \bar{A}}{\partial F_0} + \xi^2 (\omega A + \bar{\omega} \bar{A}) - 2\text{Bi}(F_0) = \\ & = \int_0^{\infty} \frac{\partial T}{\partial F_0} \left[\cos \xi x + \frac{\text{Bi}(F_0)}{\xi} \sin \xi x \right] dx + \\ & + \xi^2 \int_0^{\infty} T(x, F_0) \left[\cos \xi x + \frac{\text{Bi}(F_0)}{\xi} \sin \xi x \right] dx = \\ & = \theta(\xi, F_0) = 0, \end{aligned} \quad (15)$$

$$\begin{aligned} \tilde{T}(\xi, F_0) &= \text{Re} [\omega(\xi, F_0) A(\xi, F_0)] = \\ &= \int_0^{\infty} T(x, F_0) \left[\cos \xi x + \frac{\text{Bi}(F_0)}{\xi} \sin \xi x \right] dx. \end{aligned} \quad (16)$$

Раскрывая соотношение $\omega \left(\frac{\partial A}{\partial F_0} + \xi^2 A \right) - \text{Bi}(F_0)$ с учетом (15), (16), находим

$$\omega \left(\frac{\partial A}{\partial F_0} + \xi^2 A \right) - \text{Bi}(F_0) = \theta(\xi, F_0) + i\psi(\xi, F_0), \quad F_0 > 0,$$

или

$$\omega \left(\frac{\partial A}{\partial F_0} + \xi^2 A \right) - \text{Bi}(F_0) = i\psi(\xi, F_0), \quad F_0 > 0, \quad (17)$$

где

$$\psi(\xi, F_0) = \frac{1}{\xi} \left\{ [\text{Bi}^2(F_0) + \xi^2] T(0, F_0) - \text{Bi}^2(F_0) \right\}. \quad (18)$$

Таким образом, можно перейти к задаче Коши относительно функции $A(\xi, F_0)$ вида

$$\begin{cases} \frac{\partial A}{\partial F_0} + \xi^2 A = \frac{\text{Bi}(F_0)}{\omega} + i \frac{\psi(\xi, F_0)}{\omega}, & F_0 > 0, \\ A_0(\xi, F_0)|_{F_0=0} = 0. \end{cases} \quad (19)$$

Функцию $\frac{i\psi(\xi, F_0)}{\omega} = i \frac{\bar{\omega}}{|\omega|^2} \psi(\xi, F_0)$ представим как

$$\begin{aligned} i \frac{\bar{\omega}}{|\omega|^2} \psi(\xi, F_0) &= \psi_1(\xi, F_0) + i\psi_2(\xi, F_0) = \\ &= \left[\frac{\text{Bi}^3(F_0)}{\text{Bi}^2(F_0) + \xi^2} - \text{Bi}(F_0) T(0, F_0) \right] + \\ &+ i \left[\xi T(0, F_0) - \frac{\text{Bi}^2(F_0) \xi}{\text{Bi}^2(F_0) + \xi^2} \right]. \end{aligned} \quad (20)$$

Решение задачи Коши (19) имеет вид

$$\begin{aligned} A(\xi, F_0) &= \int_0^{F_0} \frac{\text{Bi}(\tau) \bar{\omega}(\xi, \tau)}{|\omega|^2} \exp[-\xi^2 (F_0 - \tau)] d\tau + \\ &+ i \int_0^{F_0} \frac{\psi(\xi, \tau) \bar{\omega}(\xi, \tau)}{|\omega|^2} \exp[-\xi^2 (F_0 - \tau)] d\tau \end{aligned} \quad (21)$$

и далее из (21) находим искомое изображение $\tilde{T}(\xi, F_0)$ с учетом (20):

$$\begin{aligned} \tilde{T}(\xi, F_0) &= \text{Re} [\omega(\xi, F_0) A(\xi, F_0)] = \\ &= \int_0^{F_0} \frac{\xi^2 + \text{Bi}(F_0) \text{Bi}(\tau)}{\xi^2 + \text{Bi}^2(\tau)} \text{Bi}(\tau) \exp[-\xi^2 (F_0 - \tau)] d\tau + \\ &+ \text{Bi}(F_0) \int_0^{F_0} \left[T(0, \tau) - \frac{\text{Bi}^2(\tau)}{\text{Bi}^2(\tau) + \xi^2} \right] \times \\ &\times \exp[-\xi^2 (F_0 - \tau)] d\tau. \end{aligned} \quad (22)$$

После упрощения выражение (22) приводится к окончательному виду

$$\begin{aligned} \tilde{T}(\xi, F_0) &= \int_0^{F_0} \text{Bi}(\tau) \exp[-\xi^2 (F_0 - \tau)] d\tau + \\ &+ \int_0^{F_0} [\text{Bi}(F_0) - \text{Bi}(\tau)] T(0, \tau) \exp[-\xi^2 (F_0 - \tau)] d\tau. \end{aligned} \quad (23)$$

Теперь по формуле обращения (6) можно записать для искомой функции $T(x, F_0)$:

$$\begin{aligned} T(x, F_0) &= \frac{2}{\pi} \int_0^{F_0} \text{Bi}(\tau) d\tau \int_0^\infty \left[\cos \xi x + \frac{\text{Bi}(F_0)}{\xi} \sin \xi x \right] \times \\ &\times \frac{\xi^2 \exp[-\xi^2 (F_0 - \tau)]}{\xi^2 + \text{Bi}^2(F_0)} d\xi + \\ &+ \frac{2}{\pi} \int_0^{F_0} [\text{Bi}(F_0) - \text{Bi}(\tau)] T(0, \tau) d\tau \times \\ &\times \int_0^\infty \left[\cos \xi x + \frac{\text{Bi}(F_0)}{\xi} \sin \xi x \right] \frac{\xi^2 \exp[-\xi^2 (F_0 - \tau)]}{\xi^2 + \text{Bi}^2(F_0)} d\xi. \end{aligned} \quad (24)$$

Одним из доказательств справедливости найденного соотношения (24) является рассмотрение частного (классического) случая $\text{Bi}(F_0) = \text{Bi}^* = \text{const}$. Для этого случая соотношение (24) автоматически дает классическое решение

$$\begin{aligned} T(x, F_0) &= \Phi^* \left(\frac{x}{2\sqrt{F_0}} \right) - \\ &- \exp(\text{Bi}^* x + \text{Bi}^{*2} F_0) \Phi^* \left(\frac{x}{2\sqrt{F_0}} + \text{Bi}^* \sqrt{F_0} \right), \end{aligned} \quad (25)$$

где $\Phi^*(z) = 1 - \Phi(z)$, $\Phi(z)$ – функция Лапласа.

Правая часть (24) зависит от неизвестной величины $T(0, F_0)$. Полагая в (24) $x = 0$, приходим к интегральному уравнению Вольтера второго рода относительно $T(0, F_0)$:

$$\begin{aligned} T(0, F_0) &= \theta_1(F_0) + \\ &+ \frac{2}{\pi} \int_0^{F_0} \theta_2(F_0, \tau) T(0, \tau) d\tau, \end{aligned} \quad (26)$$

где

$$\left. \begin{aligned} \theta_1(F_0) &= \int_0^{F_0} \text{Bi}(\tau) \psi_0(F_0, \tau) d\tau, \\ \theta_2(F_0, \tau) &= [\text{Bi}(F_0) - \text{Bi}(\tau)] \psi_0(F_0, \tau), \\ \psi_0(F_0, \tau) &= \frac{2}{\pi} \int_0^\infty \frac{\xi^2 \exp[-\xi^2 (F_0 - \tau)]}{\xi^2 + \text{Bi}^2(F_0)} d\xi, \end{aligned} \right\} \quad (27)$$

Решение уравнения (26) с использованием пиаровского процесса последовательных приближений представим в виде

$$T(0, F_0) = T_0(F_0) + \sum_{n=1}^\infty \left(\frac{2}{\pi}\right)^n T_n(F_0), \quad (28)$$

где

$$\left. \begin{aligned} T_0(F_0) &= \theta_1(F_0), \\ T_n(F_0) &= \int_0^{F_0} \theta_2(F_0, \tau) T_{n-1}(\tau) d\tau, \quad n \geq 1. \end{aligned} \right\} \quad (29)$$

Из (28), (29) находим искомую величину $T(0, F_0)$ в виде бесконечного ряда последовательных приближений

$$\begin{aligned} T(0, F_0) &= \theta_1(F_0) + \sum_{n=1}^\infty \left(\frac{2}{\pi}\right)^n \int_0^{F_0} \theta_2(F_0, \tau) d\tau \times \\ &\times \int_0^\tau \theta_2(\tau, \tau_1) d\tau_1 \dots \int_0^{\tau_{n-2}} \theta_1(\tau_{n-1}) \theta_2(\tau_{n-2}, \tau_{n-1}) d\tau_{n-1}. \end{aligned} \quad (30)$$

Покажем, что ряд (30) сходится равномерно при всех $F_0 > 0$ в любом конечном промежутке изменения F_0 . Будем считать, что функция $\text{Bi}(F_0)$ ограничена на отрезке $[0, F_0]$, т.е. $|\text{Bi}(F_0)| \leq M/2$. Тогда ряд, составленный из абсолютных величин членов ряда (30), будет мажорироваться рядом

$$\begin{aligned} &\sum_{n=1}^\infty \frac{2^{n-1} M^{n+1} F_0}{(\sqrt{\pi})^{3n+1}} \int_0^\tau \frac{d\tau}{\sqrt{F_0 - \tau_0}} \int_0^\tau \frac{d\tau_1}{\sqrt{\tau - \tau_1}} \times \\ &\times \int_0^{\tau_1} \frac{d\tau_2}{\sqrt{\tau_1 - \tau_2}} \dots \int_0^{\tau_{n-1}} \frac{d\tau_n}{\sqrt{\tau_{n-1} - \tau_n}}. \end{aligned} \quad (31)$$

Можно определить общий член этого ряда. Вычислим несколько первых интегралов

$$\begin{aligned} \int_0^{\tau_{n-1}} \frac{d\tau_n}{\sqrt{\tau_{n-1} - \tau_n}} &= 2(\sqrt{\tau_{n-1}})^1, \\ \int_0^{\tau_{n-2}} \frac{(\sqrt{\tau_{n-1}})^1 d\tau_{n-1}}{\sqrt{\tau_{n-2} - \tau_{n-1}}} &= \frac{\pi}{2} (\sqrt{\tau_{n-2}})^2, \\ \int_0^{\tau_{n-3}} \frac{(\sqrt{\tau_{n-2}})^2 d\tau_{n-2}}{\sqrt{\tau_{n-3} - \tau_{n-2}}} &= \frac{4}{3} (\sqrt{\tau_{n-3}})^3 \end{aligned}$$

и, проверяя по индукции, замечаем, что

$$\int_0^{\tau_{n-m}} \frac{(\sqrt{\tau_{n-(m-1)}})^{m-1} d\tau_{n-(m-1)}}{\sqrt{\tau_{n-m} - \tau_{n-(m-1)}}} = \lambda_m (\sqrt{\tau_{n-m}})^m,$$

где λ_m – пока неизвестна. Для нахождения λ_m сделаем в интеграле замену переменной $\tau_{n-(m-1)} = \tau_{n-m} \sin^2 \varphi$. Тогда получим

$$\lambda_m (\sqrt{\tau_{n-m}})^m = (\sqrt{\tau_{n-m}})^m 2 \int_0^{\pi/2} \sin^m \varphi d\varphi.$$

Отсюда

$$\lambda_m = 2 \int_0^{\pi/2} \sin^m \varphi d\varphi = \begin{cases} 2 \frac{(2k-2)!!}{(2k-1)!!}, & m = 2k-1, \\ \frac{(2k-1)!!}{(2k)!!} \pi, & m = 2k \end{cases} \quad (k = 1, 2, 3 \dots).$$

Заметим, что $\lambda_m \rightarrow 0$ при $m \rightarrow \infty$ и $(n+1)$ -й член ряда (31) содержит $(n+1)$ интеграл, следовательно, он равен $\left[2^{n-1} M^{n+1} / (\sqrt{\pi})^{3n+1} \right] \times \lambda_1 \lambda_2 \dots \lambda_{n+1} (\sqrt{F_0})^{n+1}$. Вычислим коэффициенты

$$d_{n+1} = \frac{1}{(\sqrt{\pi})^{n+1}} \lambda_1 \lambda_2 \dots \lambda_{n+1} = \begin{cases} \pi^{-1/2} 2^{(2n+1)/2} \frac{1}{(n+1)!!}, & n = 2k-1, \\ 2^{(2n+1)/2} \frac{1}{(n+1)!!}, & n = 2k. \end{cases}$$

Таким образом, ряд (31) принимает вид

$$\sum_{n=1}^{\infty} \frac{2^{n-1} M^{n+1} d_{n+1}}{(\sqrt{\pi})^{2n}} (\sqrt{F_0})^{n+1}. \quad (32)$$

Сходимость ряда (32) для всех $F_0 > 0$ легко проверить по признаку Даламбера.

В качестве примеров рассмотрим случаи, представляющие интерес для процессов теплообмена прокатываемого металла с валками и окружающей средой [3]. В первом случае $Bi(F_0) = Bi^* + PdF_0$ (Pd – число Прандтля), во втором – $Bi(F_0) = Bi^* + \beta \exp(-PdF_0)$.

На рис. 1 приведены значения приближений температурной функции (30) $\Psi_1(F_0) = T_0(F_0)$, $\Psi_2(F_0) = T_0(F_0) + (2/\pi)T_1(F_0)$, $\Psi_3(F_0) = T_0(F_0) + (2/\pi)T_1(F_0) + (2/\pi)^2 T_2(F_0)$ для первого случая, рассчитанные в зависимости от критерия F_0 в сечении $x = 0.5$ при $Bi^* = 0.5$, $Pd = 1$. Видно, что первое и второе приближения берут в вилку третье приближение, что позволяет с достаточной для практики точностью ограничиться тремя первыми приближениями.

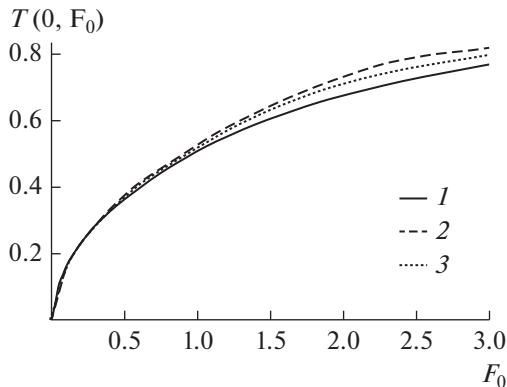


Рис. 1. Температурные кривые приближений на границе $x = 0$ области при $Bi^* = 0.5$, $Pd = 1$ для $Bi(F_0) = Bi^* + PdF_0$: 1 – Ψ_1 , 2 – Ψ_2 , 3 – Ψ_3 .

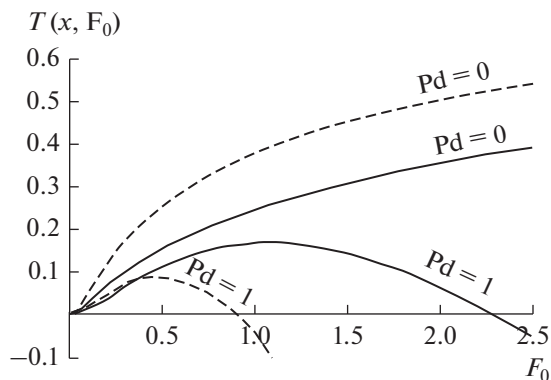


Рис. 2. Температурная кривая $T(0, 5, F_0)$ для $Bi(F_0) = Bi^* + PdF_0$ при $Bi^* = 0.5$ (сплошные кривые) и $Bi^* = 1$ (штриховые кривые), $Pd = 0$ (классический случай) и $Pd = 1$ (влияние переменного во времени коэффициента).

На рис. 2 приведены кривые распределения температуры $T(x, F_0)$ (24) в сечении $x = 0.5$ в зависимости от F_0 для первого случая изменения $Bi(F_0)$ при $Bi^* = 0.5$ и 1 (при трех приближениях в (30)) для $Pd = 0$ (классический случай (25)) и $Pd = 1$. Видно, что наличие переменного во времени линейного относительного коэффициента теплообмена резко меняет картину тепловой реакции области на нагрев: температура возрастает, достигает максимума и затем убывает, заходя в отрицательную область значений (последнее, по-видимому, ограничивает область значений числа Фурье при конкретных расчетах).

На рис. 3 приведены кривые распределения температуры $T(x, F_0)$ (24) в сечении $x = 0.5$ в зависимости от числа Фурье для второго случая изменения $Bi(F_0)$ (при трех приближениях в (30)) для $\beta = 0$ (классический случай (25)) $\beta = 1$, $Pd = 1$. Видно, что в интервале практических значений

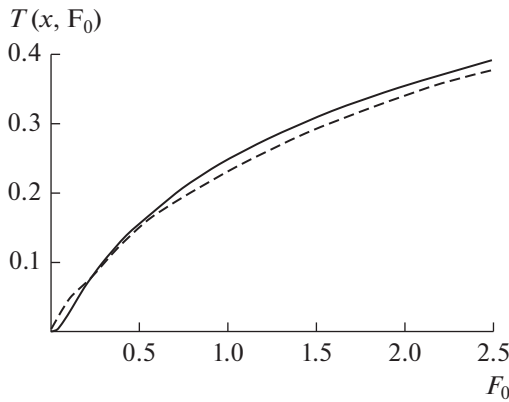


Рис. 3. Температурная кривая $T(0, 5, F_0)$ для $Bi(F_0) = Bi^* + \beta \exp(-PdF_0)$ при $Bi^* = 0.5$ для $\beta = 1$, $Pd = 1$ (штриховая кривая) и $\beta = 0$ (сплошная кривая).

числа Фурье влияние экспоненциального во времени коэффициента $Bi(F_0)$ не существенно.

Продолжим изучение указанного класса задач теплопроводности и рассмотрим следующий подход для решения задачи:

$$\frac{\partial T}{\partial t} = \frac{\partial^2 T}{\partial x^2}, \quad x > 0, \quad t > 0; \tag{33}$$

$$T(x, t)|_{t=0} = T_0, \quad x \geq 0; \quad |T(x, t)| < +\infty, \quad x \geq 0, \quad t \geq 0; \tag{34}$$

$$(\partial T / \partial x)|_{x=0} = h(t)T(x, t)|_{x=0}, \quad t > 0. \tag{35}$$

Для простоты записи положено $a = 1$, $T_C = 0$, что не ограничивает общности рассуждения. Решение уравнения (33) записывается в виде

$$T(x, t) = \frac{1}{2\sqrt{\pi t}} \int_{-\infty}^{+\infty} F(\xi) \exp\left[-\frac{(x - \xi)^2}{4t}\right] d\xi, \tag{36}$$

и на отрицательной полуоси x в качестве начальной подбирается такая функция $F(x)$, чтобы (36) удовлетворяло граничному условию (35). Последнее приводит к функциональному уравнению вида

$$\begin{aligned} & \left(-\frac{1}{2}\right) \int_0^{\infty} f(2\sqrt{xt}) \exp(-x) dx = T_0 \gamma(t) + \\ & + \gamma(t) \left(\frac{\sqrt{\pi}}{2}\right) \int_0^{\infty} f(2\sqrt{xt}) x^{-1/2} \exp(-x) dx, \end{aligned} \tag{37}$$

где $f(x) = F(-x) - T_0$, $\gamma(t) = h(t)\sqrt{\pi t}$. Если предположить, что функция $h(t)$ раскладывается в ряд по степеням $t^{1/2}$, т.е. $\gamma(t) = \sum_{n=0}^{\infty} \gamma_n t^{n/2}$, и искать функцию $f(x)$ в виде ряда $f(x) = \sum_{n=0}^{\infty} a_n x^n$, то уравнение (37) дает для коэффициентов соотношение

$$a_n = \frac{T_0 \gamma_n + \sum_{m=0}^{n-1} 2^{m-1} \Gamma\left(\frac{m+1}{2}\right) a_m \frac{\gamma_{n-m}}{\sqrt{\pi}}}{2^{n-1} \Gamma\left(1 + \frac{n}{2}\right)},$$

а вместе с этим решение $T(x, t)$ в виде

$$T(x, t) = T_0 + \frac{1}{2\sqrt{\pi t}} \sum_{n=1}^{\infty} a_n \int_0^{\infty} \xi^n \exp\left[-\frac{(x + \xi)^2}{4t}\right] d\xi. \tag{38}$$

Метод последовательных приближений для уравнения $\frac{\partial T}{\partial t} = \frac{\partial^2 T}{\partial x^2}$ с нулевым начальным условием (34) и граничным условием $(\partial T / \partial x)_{x=0} = h(t)[T(0, t) - \varphi(t)]$ дает решение задачи в другом виде

$$\begin{aligned} T(x, t) &= \frac{x}{2\sqrt{a\pi}} \int_0^t \frac{A(\tau)}{(t - \tau)^{3/2}} \exp\left[-\frac{x^2}{4a(t - \tau)}\right] d\tau, \\ A(t) &= \sum_{n=0}^{\infty} (-1)^n \left(\sqrt{\frac{a}{n}}\right)^{n+1} \times \\ &\times \int_0^t \frac{h(\tau) d\tau}{\sqrt{t - \tau}} \int_0^{\tau} \frac{h(\tau_1)}{\sqrt{\tau - \tau_1}} \dots \int_0^{\tau_{n-1}} \frac{h(\tau_n) \varphi(\tau_n)}{\sqrt{\tau_{n-1} - \tau_n}} d\tau_n. \end{aligned} \tag{39}$$

Для ограниченной на отрезке $[0, t]$ функции $h(t)$ ряд (39) сходится абсолютно и равномерно при всех $x > 0$ и $t > 0$ в любом конечном промежутке изменения и допускает ряд частных случаев, представляющих практический интерес. Так, для $h(t) = h_0 t^m$, $\varphi(t) = T_C t^r$, где m, r – действительные числа, выражение (39) принимает вид

$$\begin{aligned} T(x, t) &= \frac{T_C x}{2\sqrt{a\pi}} \sum_{n=1}^{\infty} (-1)^{n+1} \left(h_0 \sqrt{\frac{a}{\pi}}\right)^n \times \\ &\times \prod_{k=1}^n B\left(r + \frac{1}{2} + k\left(m + \frac{1}{2}\right), \frac{1}{2}\right) \times \\ &\times \int_0^t \frac{\tau^{r+n(m+1/2)}}{(t - \tau)^{3/2}} \exp\left[-\frac{x^2}{4(t - \tau)}\right] d\tau, \end{aligned} \tag{40}$$

где $B(c, d)$ – бета-функция. Предполагается, что $[r + 1/2 + k(m + 1/2)] > 0$. При $m = -(1/2)$, т.е. $h(t) = h_0 t^{-1/2}$ и $r = 0$, выражение (40) дает компактное решение

$$\begin{aligned} T(x, t) &= T_C \Phi^*\left(\frac{x}{2\sqrt{at}}\right) \sum_{n=1}^{\infty} (-1)^{n+1} (h_0 \sqrt{a\pi})^n = \\ &= \frac{T_C h_0 \sqrt{a\pi}}{1 + h_0 \sqrt{a\pi}} \Phi^*\left(\frac{x}{2\sqrt{at}}\right) \end{aligned}$$

при условии, что $h_0 \sqrt{a\pi} < 1$. Аналогично могут быть представлены и другие случаи.

Рассмотрим далее подход, основанный на функциональных преобразованиях Гринберга (ссылки в [2]) при решении задачи

$$\frac{\partial T(x,t)}{\partial t} = a \frac{\partial^2 T(x,t)}{\partial x^2}, \quad x > 0, \quad t > 0, \quad (41)$$

$$T(x,t)|_{t=0} = T_0, \quad x \geq 0, \quad |T(x,t)| < \infty, \quad (42)$$

$$x \geq 0, \quad t \geq 0,$$

$$\frac{\partial T(x,t)}{\partial x} \Big|_{x=0} = h(t)T(x,t)|_{x=0}, \quad t > 0. \quad (43)$$

Введем функцию $R(t) = 1/h(t)$ и запишем (43) в виде

$$\frac{\partial T(x,t)}{\partial x} \Big|_{x=0} = \frac{1}{R(t)} T(x,t) \Big|_{x=0}, \quad t > 0. \quad (44)$$

Пусть $y = x/R(t)$, $T(x,t) = \Theta(y,t)$. Тогда (41), (42), (44) записываются в виде

$$R^2(t) \frac{\partial \Theta}{\partial t} = a \frac{\partial^2 \Theta}{\partial y^2} + y \dot{R} R \frac{\partial \Theta}{\partial y}, \quad y > 0, \quad t > 0, \quad (45)$$

$$\Theta|_{t=0} = T_0, \quad y \geq 0, \quad |\Theta(y,t)| < \infty, \quad y \geq 0, \quad t \geq 0, \quad (46)$$

$$\frac{\partial \Theta(y,t)}{\partial y} \Big|_{y=0} = \Theta(y,t)|_{y=0}, \quad t > 0. \quad (47)$$

Здесь $\dot{R}(t) = dR(t)/dt$. Введем далее новую функцию с помощью преобразования

$$\Theta(y,t) = T_0 + \frac{1}{R} \exp \left[-\frac{y^2 R \dot{R}}{4a} \right] W(y,t), \quad (48)$$

что позволит записать (45)–(47) в виде

$$R^2 \frac{\partial W}{\partial t} = a \frac{\partial^2 W}{\partial y^2} + \frac{R^3 \ddot{R}}{4a} y^2 W, \quad y > 0, \quad t > 0, \quad (49)$$

$$W(y,t)|_{t=0} = 0, \quad y \geq 0, \quad (50)$$

$$|W(y,t)| < \infty, \quad y \geq 0, \quad t \geq 0,$$

$$\left[\frac{\partial W(y,t)}{\partial y} - W(y,t) \right]_{y=0} = T_0 \sqrt{R(t)}, \quad t > 0. \quad (51)$$

Рассмотрим для (49) случаи, допускающие точное решение. Пусть $R^3 \ddot{R} = -M^2 = \text{const}$, что означает изменение $R(t)$ по закону $R(t) = \sqrt{(At + B)^2 - A^2 B}$. Этот случай встречается при изучении нестационарного охлаждения термоэлектрических элементов (ссылки в [2]). Собственные функции задачи (49)–(51) при данном условии представляют

$$\frac{1}{\sqrt{z}} W_{\frac{\nu_n+1}{2}, \frac{1}{4}} \left(\frac{z^2}{2} \right), \quad z = y\sqrt{M}, \quad (52)$$

где $W_{\nu,\mu}(x)$ – функция Уиттекера. Собственные числа ν_n образуют дискретный спектр и удовлетворяют уравнению

$$\Gamma^{-1} \left(\frac{1-\nu_n}{2} \right) - \sqrt{2} \Gamma^{-1} \left(-\frac{\nu_n}{2} \right) = 0, \quad n = 0, 1, 2, \dots, \quad (53)$$

$\Gamma(x)$ – гамма-функция. Решение этой задачи возможно получить на основе разложения в ряд Фурье искомой функции по системе (52), (53).

Если $M^2 = 0$, $R(t) = At \pm B$, то собственные функции (52) переходят в тригонометрические функции, спектр собственных чисел становится непрерывным.

Рассмотрим подробно последний случай.

В (49)–(51) при $R^3 \ddot{R} = 0$ введем новые переменные

$$\tau = L(t) = \int_0^t \frac{dz}{R^2(z)}, \quad W(y,t) = U(y,\tau). \quad (54)$$

Так как величина $1/R^2(t) > 0$, то τ монотонно возрастает вместе с t и задача (49)–(51) записывается в виде

$$\frac{\partial U}{\partial \tau} = a \frac{\partial^2 U}{\partial y^2}, \quad y > 0, \quad \tau > 0, \quad (55)$$

$$U(y,\tau)|_{\tau=0} = 0, \quad y \geq 0, \quad (56)$$

$$|U(y,\tau)| < \infty, \quad y \geq 0, \quad \tau \geq 0,$$

$$\frac{\partial U(y,\tau)}{\partial y} \Big|_{y=0} = [U(y,\tau)|_{y=0} - \varphi(\tau)], \quad \tau > 0. \quad (57)$$

Здесь $\varphi(\tau) = T_0 \sqrt{R(t)}|_{t=L^{-1}(\tau)}$. Заметим, что раз-

мерность $[\tau] = c/M^2$. Решение $U(y,\tau)$ получим, используя подход, развитый в [7]. Интегральное представление аналитического решения задачи (55)–(57) имеет вид

$$U(y,\tau) = a \int_0^\tau \varphi(\tau') G(y, y', \tau - \tau') \Big|_{y'=0} d\tau',$$

где $G(y, y', \tau - \tau')$ – функция Грина:

$$G(y, y', \tau - \tau') = \frac{1}{2\sqrt{\pi a(\tau - \tau')}} \times$$

$$\times \left\{ \exp \left[-\frac{(y - y')^2}{4a(\tau - \tau')} \right] + \exp \left[-\frac{(y + y')^2}{4a(\tau - \tau')} \right] \right\} -$$

$$- \exp [a(\tau - \tau') + (y + y')] \Phi^* \times$$

$$\times \left[\frac{y + y'}{2\sqrt{a(\tau - \tau')}} + \sqrt{a(\tau - \tau')} \right].$$

Здесь $\Phi^*(x) = 1 - \Phi(x)$, $\Phi(x) = 2/\sqrt{\pi} \int_0^x \exp(-y^2) dy$ – функция Лапласа.

В качестве еще одного примера, имеющего многочисленные приложения [3], рассмотрим для (33)–(35) случай, когда условие теплообмена (35) задается в виде свертки двух функций

$$\left. \frac{\partial T}{\partial x} \right|_{x=0} = \int_0^t h(t-\tau) T(0, \tau) d\tau, \quad t > 0.$$

В пространстве изображений (по Лапласу) решение имеет вид

$$\frac{\bar{T}(x, p)}{T_0} = \frac{1}{p} + \frac{1}{p} \exp(-x\sqrt{p}) \times \\ \times \sum_{n=0}^{\infty} (-1)^{n+1} \left[\frac{\bar{h}(p)}{\sqrt{p}} \right]^{n+1}.$$

Тогда для оригинала можно записать

$$\frac{T(x, t)}{T_0} = 1 + \sum_{n=0}^{\infty} \frac{(-1)^{n+1}}{(\sqrt{\pi})^{n+1}} \times \\ \times \int_0^t \Phi^* \left(\frac{x}{2\sqrt{t-\tau}} \right) d\tau \int_0^{\tau} \frac{h(\tau_1)}{\sqrt{\tau-\tau_1}} d\tau_1 \times \\ \times \int_0^{\tau_1} \frac{h(\tau_2)}{\sqrt{\tau_1-\tau_2}} d\tau_2 \dots \int_0^{\tau_n} \frac{h(\tau_{n+1})}{\sqrt{\tau_n-\tau_{n+1}}} d\tau_{n+1}.$$

Доказательство сходимости этого ряда аналогично доказательству сходимости ряда (30).

ЗАКЛЮЧЕНИЕ

Таким образом, приведенные подходы дают разные функциональные выражения для первых слагаемых бесконечного ряда последовательных приближений и лишь для небольшого числа частных зависимостей $h(t)$ в (35) можно получить аналитическое решение задачи в замкнутой фор-

ме. Решение класса такого рода зависимостей $h(t)$ представляет собой одну из открытых проблем аналитической теории теплопроводности для краевых задач нестационарного тепло- и массопереноса с переменным во времени относительным коэффициентом теплообмена (массообмена). Дальнейшее развитие этой проблемы – переход к теории теплопроводности на основе гипотезы Максвелла–Каттанео–Лыкова–Вернотта [3].

СПИСОК ЛИТЕРАТУРЫ

1. Лыков А.В. Теория теплопроводности. М.: Высшая школа, 1967. 601 с.
2. Карташов Э.М. Аналитические методы решения краевых задач нестационарной теплопроводности в области с движущимися границами (обзор) // ИФЖ. 2001. Т. 74. № 2. С. 171.
3. Карташов Э.М. Аналитические методы в теории теплопроводности твердых тел. М.: Высшая школа, 2001. 540 с.
4. Карташов Э.М., Кудинов В.А. Аналитическая теория теплопроводности и прикладной термоупругости. М.: URSS, 2012. 653 с.
5. Аттетков А.В., Волков И.К. Решение одного класса задач нестационарной теплопроводности в области с движущейся границей методом расщепления обобщенного интегрального преобразования Фурье // Вестн. МГТУ им. Н.Э. Баумана. Сер. Естественные науки. 1998. № 1. С. 40.
6. Карташов Э.М. Теплопроводность при переменном во времени относительном коэффициенте теплообмена // Изв. РАН. Энергетика. 2015. № 2. С. 138.
7. Карташов Э.М. Интегральное преобразование для третьей краевой задачи нестационарной теплопроводности с непрерывным спектром собственных значений // Тонкие химические технологии. 2017. Т. 12. № 3. С. 83.